

## CORRIGÉ DU DEVOIR À LA MAISON 11

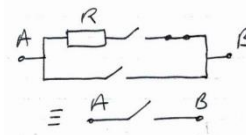
### Exercice 1 – Quartz piézoélectrique (d'après E3A PC 2020)

1. En basses fréquences :

$\underline{Z}_L = jL\omega \rightarrow 0$  :  $L$  est équivalente à un interrupteur fermé

$\underline{Z}_C = \frac{1}{jC\omega} \rightarrow \infty$  :  $C$  est équivalent à un interrupteur ouvert

Quartz équivalent à un interrupteur ouvert :  $\underline{Z} \rightarrow \infty$

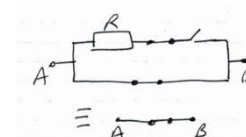


- En hautes fréquences :

$\underline{Z}_L = jL\omega \rightarrow \infty$  :  $L$  est équivalente à un interrupteur ouvert

$\underline{Z}_C = \frac{1}{jC\omega} \rightarrow 0$  :  $C$  est équivalent à un interrupteur fermé

Quartz équivalent à un interrupteur fermé :  $\underline{Z} \rightarrow 0$



2. Association en série :  $\underline{Z}_1 = jL\omega + \frac{1}{jC\omega} = \frac{1 - LC\omega^2}{jC\omega}$

Association en parallèle :

$$\underline{Y} = jC_0\omega + \frac{1}{\underline{Z}_1} = jC_0\omega + \frac{jC\omega}{1 - LC\omega^2} = \frac{jC\omega + jC_0\omega - jC_0LC\omega^3}{1 - LC\omega^2}$$

Impédance du quartz :

$$\underline{Z} = \frac{1}{\underline{Y}} = \frac{1 - LC\omega^2}{j(C + C_0)\omega - jC_0LC\omega^3} = \frac{1 - LC\omega^2}{j(C + C_0)\omega \left(1 - \frac{C_0LC}{C + C_0}\omega^2\right)}$$

$$\underline{Z} = \frac{1}{j(C + C_0)\omega} \frac{1 - LC\omega^2}{1 - \frac{C_0LC}{C + C_0}\omega^2} = \frac{1}{jC_{eq}\omega} \frac{1 - \frac{\omega^2}{\omega_s^2}}{1 - \frac{\omega^2}{\omega_p^2}} \quad \text{avec} \quad \boxed{C_{eq} = C + C_0}, \quad \boxed{\omega_s = \frac{1}{\sqrt{LC}}} \quad \text{et}$$

$$\boxed{\omega_p = \frac{1}{\sqrt{L \frac{CC_0}{C + C_0}}} = \sqrt{\frac{C + C_0}{LCC_0}}}$$

3. Module  $Z = |\underline{Z}| = \frac{1}{C_{eq}\omega} \left| \frac{1 - \frac{\omega^2}{\omega_s^2}}{1 - \frac{\omega^2}{\omega_p^2}} \right|$ . La résonance est observée lorsque  $Z = |\underline{Z}|$  est

maximal, i.e. pour  $\omega = 0$  ou lorsque  $1 - \frac{\omega^2}{\omega_p^2} = 0$  soit pour  $\boxed{\omega_r = \omega_p}$ . La fréquence

de résonance est  $\boxed{f_r = f_p}$  et  $Z = |\underline{Z}|$  est infini.

De plus,  $\omega_p = \frac{1}{\sqrt{LC}} \sqrt{\frac{C+C_0}{C_0}} = \omega_s \sqrt{\frac{C+C_0}{C_0}}$

$$C+C_0 > C_0 \Rightarrow \frac{C+C_0}{C_0} > 1 \Leftrightarrow \sqrt{\frac{C+C_0}{C_0}} > 1 \text{ donc } \omega_p > \omega_s \text{ et } \boxed{f_p > f_s}$$

Pour  $\boxed{f_a = f_s}$ ,  $\boxed{Z = |Z| = 0}$  : c'est la valeur minimale de  $Z = |Z|$ , d'où le nom de fréquence d'anti-résonance.

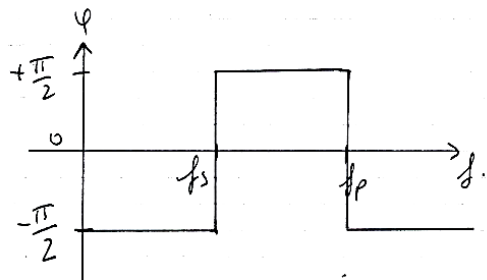
4.  $\underline{Z} = jX$  avec  $X = -\frac{1}{C_{eq}\omega} \frac{1 - \frac{\omega^2}{\omega_s^2}}{1 - \frac{\omega^2}{\omega_p^2}}$

Domaines de pulsations / fréquences	$\omega < \omega_s$ $f < f_s$	$\omega_s < \omega < \omega_p$ $f_s < f < f_p$	$\omega_p < \omega$ $f_p < f$
Signe de $1 - \frac{\omega^2}{\omega_s^2}$	$> 0$	$< 0$	$< 0$
Signe de $1 - \frac{\omega^2}{\omega_p^2}$	$> 0$	$> 0$	$< 0$
Signe de X	$< 0$	$> 0$	$< 0$
Comportement du quartz	Capacitif	Inductif	Capacitif
$\phi = \arg(\underline{Z})$	$-\frac{\pi}{2}$	$+\frac{\pi}{2}$	$-\frac{\pi}{2}$

5. Comportement inductif du quartz pour  $f_s < f < f_p$

A.N. :  $\boxed{f_s = \frac{1}{2\pi\sqrt{LC}} = 32,76 \text{ kHz}}$

et  $\boxed{f_p = \frac{1}{2\pi} \sqrt{\frac{C+C_0}{LCC_0}} = 32,77 \text{ kHz}}$



On constate que  $f_s \simeq f_p$  donc la fréquence des oscillations est  $\boxed{f_0 \simeq 32,77 \text{ kHz}}$  et elle est stable.

6. Pour la courbe de résonance, pas de changement en BF et en HF. Par contre, à la fréquence de résonance  $f_r$ ,  $Z$  n'est pas infini et à la fréquence d'anti-résonance  $f_a$ ,  $Z$  n'est pas nul.

Facteur de qualité :  $Q = \frac{1}{RC\omega_s} = \frac{\sqrt{LC}}{RC} = \frac{1}{R} \sqrt{\frac{L}{C}}$  soit  $\boxed{Q = 82,10 \cdot 10^3}$

La valeur de  $Q$  est très élevée par rapport à des circuits  $RLC$  classiques (du fait d'une valeur de  $L$  très élevée et d'une valeur de  $C$  très faible). Le quartz est un dipôle résonnant avec une résonance très aigüe (c'est l'effet recherché pour bénéficier de la stabilité de la fréquence d'oscillations).

## Problème 2 – Accordeur de guitare (Centrale TSI 2019)

1. Valeur moyenne  $\boxed{U_{e0} \simeq 10 \text{ mV}}$

2. Période :  $T_{co} = (4,6 - 1,4) \cdot 10^{-3} = 3,2 \text{ ms}$  soit  $\boxed{f_{co} = \frac{1}{T_{co}} \simeq 3,1 \cdot 10^2 \text{ Hz}}$ . Cette

fréquence est la plus proche de la fréquence accordée de la corde Mi aigu.

3. Ce signal est périodique et non sinusoïdal : il y aura donc des harmoniques de fréquence multiples de  $f_{co}$ .

4. Diviseur de tension :  $\underline{H_1}(j\omega) = \frac{u_1}{u_e} = \frac{R_1}{R_1 + \underline{Z_{C_1}}} = \frac{R_1 \underline{Y_{C_1}}}{R_1 \underline{Y_{C_1}} + 1} \Leftrightarrow \boxed{\underline{H_1}(j\omega) = \frac{jR_1 C_1 \omega}{1 + jR_1 C_1 \omega}}$

5. BF :  $\omega \rightarrow 0$  :  $\underline{H_1}(j\omega) = 0$  : les BF ne passent pas

HF :  $\omega \rightarrow \infty$  :  $\underline{H_1}(j\omega) \simeq \frac{jR_1 C_1 \omega}{jR_1 C_1 \omega} = 1$  : les HF passent

C'est un filtre passe-haut du 1<sup>er</sup> ordre.

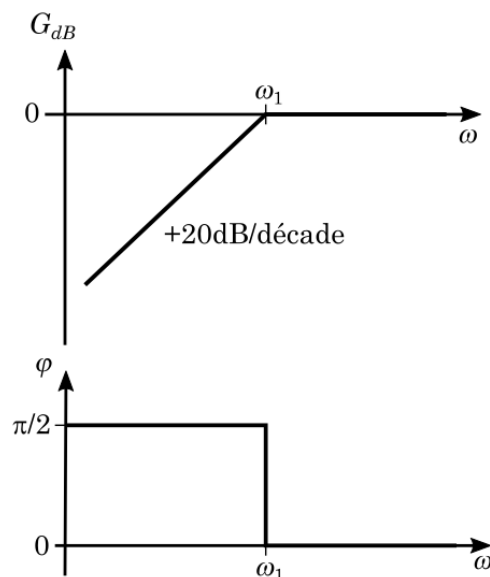
➤ Pulsation de coupure  $\omega_1$  telle que  $\boxed{H_1(\omega_1) = \frac{H_{1\max}}{\sqrt{2}}}$

$$|\underline{H_1}(\omega_1)| = \frac{R_1 C_1 \omega_1}{\sqrt{1 + (R_1 C_1 \omega_1)^2}} \text{ et } H_{1\max} = 1 \text{ (en HF)}$$

$$H_1(\omega_1) = \frac{H_{1\max}}{\sqrt{2}} \Leftrightarrow \frac{R_1 C_1 \omega_1}{\sqrt{1 + (R_1 C_1 \omega_1)^2}} = \frac{1}{\sqrt{2}} \Leftrightarrow \frac{(R_1 C_1 \omega_1)^2}{1 + (R_1 C_1 \omega_1)^2} = \frac{1}{2}$$

$$2(R_1 C_1 \omega_1)^2 = 1 + (R_1 C_1 \omega_1)^2 \Leftrightarrow (R_1 C_1 \omega_1)^2 = 1 \Leftrightarrow R_1 C_1 \omega_1 = 1 \Leftrightarrow \boxed{\omega_1 = \frac{1}{R_1 C_1}}$$

6. Cf. diagramme de Bode ci-dessous

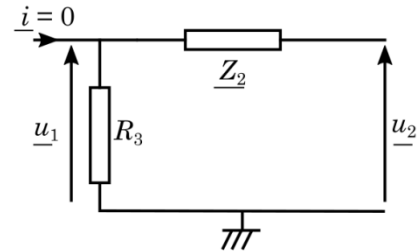


7. Fréquence de coupure  $\boxed{f_1 = \frac{\omega_1}{2\pi} = \frac{1}{2\pi R_1 C_1} = 15,9 \text{ Hz}}$

Le rôle de ce premier filtre est de supprimer la composante continue de fréquence nulle et de laisser passer toutes les autres composantes, la fréquence la plus basse étant  $f_{co} = 3,1 \cdot 10^2 \text{ Hz} \gg f_1$  : le signal obtenu est à valeur moyenne nulle.

8. Admittance équivalente :  $\underline{Y}_2 = \frac{1}{R_2} + jC_2\omega = \frac{1 + jR_2C_2\omega}{R_2}$

Impédance équivalente :  $\underline{Z}_2 = \frac{1}{\underline{Y}_2} = \frac{R_2}{1 + jR_2C_2\omega}$



9. Diviseur de tension ( $R_3$  et  $\underline{Z}_2$  sont en série)

$$\underline{u}_1 = \frac{R_3}{R_3 + \underline{Z}_2} \underline{u}_2$$

$$\underline{H}_2(j\omega) = \frac{\underline{u}_2}{\underline{u}_1} = \frac{R_3 + \underline{Z}_2}{R_3} = 1 + \frac{\underline{Z}_2}{R_3} = 1 + \frac{1}{R_3} \frac{R_2}{1 + jR_2C_2\omega}$$

$$\underline{H}_2(j\omega) = 1 + \frac{R_2}{R_3} \frac{1}{1 + jR_2C_2\omega} = 1 + \frac{G_0}{1 + j\frac{\omega}{\omega_2}} \text{ avec } G_0 = \frac{R_2}{R_3} \text{ et } \omega_2 = \frac{1}{R_2C_2}$$

$$10. \underline{H}_2(j\omega) = \frac{1 + j\frac{\omega}{\omega_2} + G_0}{1 + j\frac{\omega}{\omega_2}} = \frac{(1 + G_0) \left( 1 + j\frac{\omega}{(1 + G_0)\omega_2} \right)}{1 + j\frac{\omega}{\omega_2}} = (1 + G_0) \frac{1 + j\frac{\omega}{(1 + G_0)\omega_2}}{1 + j\frac{\omega}{\omega_2}}$$

➤  $\underline{H}_2(j\omega) = H_0 \frac{1 + j\frac{\omega}{\omega_3}}{1 + j\frac{\omega}{\omega_2}} \text{ avec } H_0 = 1 + G_0 \text{ et } \omega_3 = (1 + G_0)\omega_2 = H_0\omega_2$

➤  $H_0 = 1 + \frac{R_2}{R_3}$  et  $\omega_3 = (1 + G_0)\omega_2 = \frac{1 + \frac{R_2}{R_3}}{R_2C_2} \Leftrightarrow \omega_3 = \frac{R_3 + R_2}{R_3R_2C_2}$

➤  $\frac{R_2}{R_3} > 0$  donc  $H_0 > 1$  et  $\omega_3 = H_0\omega_2 > \omega_2$

11. Produit de fonctions de transfert :

$$\underline{H}_2(j\omega) = H_0 \cdot \underline{H}_3(j\omega) \cdot \underline{H}_4(j\omega)$$

avec  $H_0 = 1 + G_0 > 1$ ,  $\underline{H}_3(j\omega) = 1 + j\frac{\omega}{\omega_3}$ ,  $\underline{H}_4(j\omega) = \frac{1}{1 + j\frac{\omega}{\omega_2}}$

➤ Courbe de gain total :  $G_{dB2}(\omega) = G_{dB0} + G_{dB3}(\omega) + G_{dB4}(\omega)$

➤ Courbe de phase totale :  $\varphi_2(\omega) = \varphi_1 + \varphi_3(\omega) + \varphi_4(\omega)$

➤ Étude de  $H_0$  :  $H_0 > 1$  d'où  $G_{dB0} = 20 \log |H_0| > 0$ ,  $\varphi_0 = \arg(H_0) = 0$

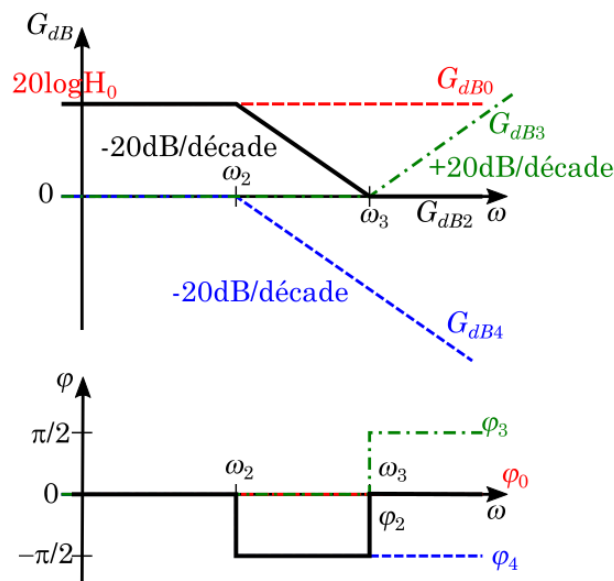
➤ Étude asymptotique de  $\underline{H}_3(j\omega) = 1 + j \frac{\omega}{\omega_3}$

Domaine de pulsation	$\omega \ll \omega_3$	$\omega \gg \omega_3$
$\underline{H}_3(j\omega)$	1	$j \frac{\omega}{\omega_3}$
Courbe de gain $G_{dB3}$	Droite horizontale à 0 dB	Droite de pente +20 dB/décade
Courbe de phase $\varphi_3$	$\varphi_3 = 0$ Droite horizontale à 0 rad	$\varphi_3 = +\frac{\pi}{2}$ Droite horizontale à $+\frac{\pi}{2}$ rad

➤ Étude asymptotique de  $\underline{H}_4(j\omega) = \frac{1}{1 + j \frac{\omega}{\omega_2}}$

Domaine de pulsation	$\omega \ll \omega_2$	$\omega \gg \omega_2$
$\underline{H}_4(j\omega)$	1	$-j \frac{\omega_2}{\omega}$
Courbe de gain $G_{dB4}$	Droite horizontale à 0 dB	Droite de pente -20 dB/décade
Courbe de phase $\varphi_4$	$\varphi_4 = 0$ Droite horizontale à 0 rad	$\varphi_4 = -\frac{\pi}{2}$ Droite horizontale à $-\frac{\pi}{2}$ rad

Tracé en tenant compte du fait que  $\omega_3 > \omega_2$



➤ HF :  $\underline{H}_2(j\omega) = H_0 \frac{j\frac{\omega}{\omega_3}}{j\frac{\omega}{\omega_2}} = H_0 \frac{\omega_2}{\omega_3} = H_0 \frac{\omega_2}{H_0 \omega_2} = 1$ . Asymptote horizontale  $G_{dB2} = 0$

12.  $H_0 = 1 + \frac{R_2}{R_3} = 114$  et  $f_2 = \frac{\omega_2}{2\pi} = \frac{1}{2\pi R_2 C_2} = 498 \text{ Hz}$

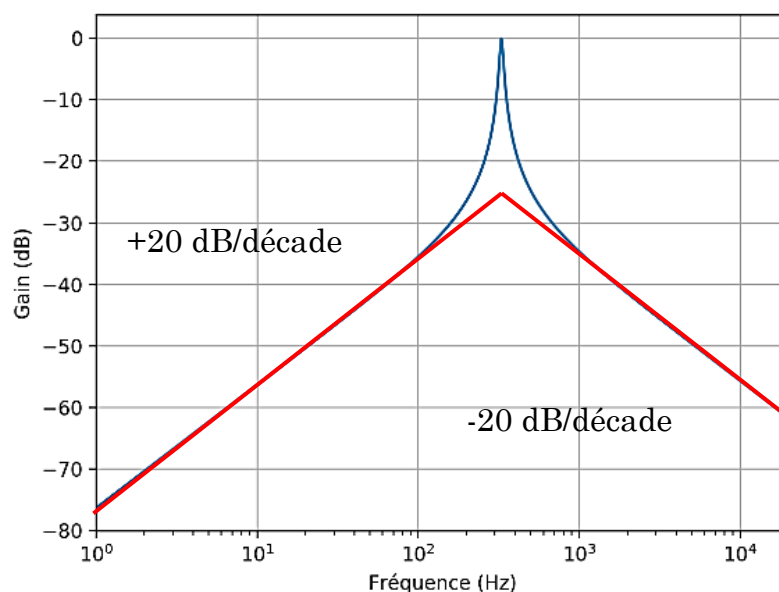
➤ Le rôle de ce deuxième filtre est d'amplifier fortement les composantes du signal de fréquence inférieure à 500 Hz : ce sera le cas pour le fondamental de fréquence  $f_{co} \approx 3,1 \cdot 10^2 \text{ Hz}$ . Les harmoniques de fréquences supérieures seront également amplifiés, mais dans une moindre mesure.

13. BF :  $\omega \rightarrow 0 : G_{dB} \rightarrow -\infty \Rightarrow |\underline{H}(j\omega)| = 0$  : les BF ne passent pas

HF :  $\omega \rightarrow \infty : G_{dB} \rightarrow -\infty \Rightarrow |\underline{H}(j\omega)| = 0$  : les HF ne passent pas

C'est un filtre passe-bande du 2<sup>nd</sup> ordre.

14. On trace les asymptotes tangentes à la courbe en BF et en HF (cf. figure ci-dessous). Les asymptotes à la courbe de gain se croisent au-dessous de la courbe réelle et le pic de résonance est très marqué :  $Q > 1$

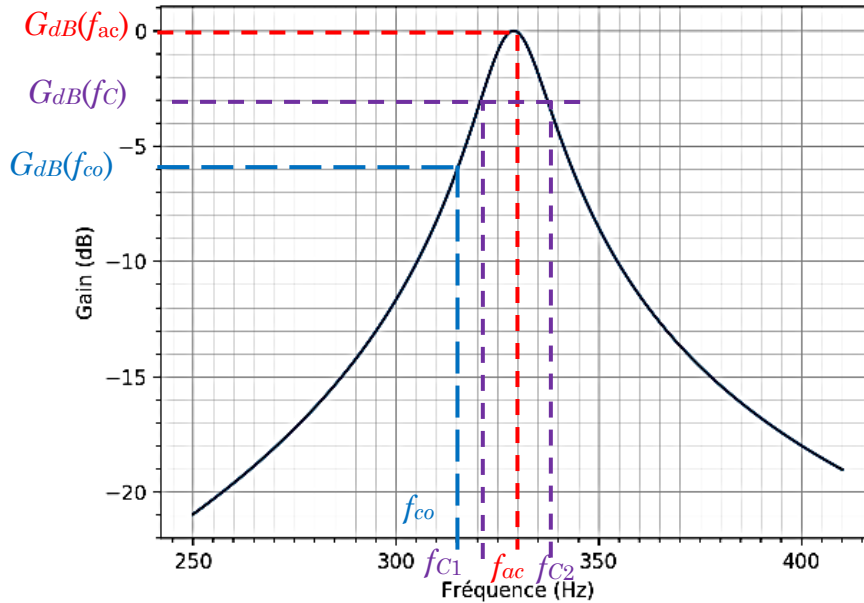


15. Fréquence centrale :  $f_{ac} = 330 \text{ Hz}$  (c'est bien la fréquence du Mi aigu)

Fréquences de coupure telles que  $G_{dB}(f_c) = G_{dB_{max}} - 3 \text{ dB} = -3 \text{ dB}$  soit  $f_{c1} = 320 \text{ Hz}$  et  $f_{c2} = 337 \text{ Hz}$  (cf. figure ci-dessous).

Bande passante :  $BP = [f_{c2}; f_{c1}]$  de largeur  $\Delta f = f_{c2} - f_{c1} = 17 \text{ Hz}$

Facteur de qualité :  $Q = \frac{f_{ac}}{\Delta f} = 19$ . On vérifie  $Q > 1$ .



16. Gain :  $G_{dB}(f_{co}) = -6 \text{ dB}$  et  $H(f_{co}) = 10^{\frac{G_{dB}(f_{co})}{20}} = 0,5 = \frac{1}{2}$

La composante spectrale fondamentale est divisée par deux (ou atténuée de 50%) en sortie de ce filtre ( $F_c$ ).

17. On trouve une première raie (à  $f = 0$ ) à 10 mV ce qui correspond bien à la valeur moyenne estimée en début de problème. On remarque que la raie suivante est située un peu au-dessus de 300 Hz, ce qui correspond bien à la fréquence du fondamental de la corde désaccordée. Enfin, toutes les autres raies ont une fréquence multiple de la fréquence du fondamental : ce sont les harmoniques du signal.

18. En sortie du premier filtre ( $F_a$ ), seule la composante continue sera supprimée, le reste du spectre n'étant pas modifié. Il s'agit donc du spectre (a).

19. À 315 Hz, le filtre ( $F_b$ ) amplifie environ 100 fois le fondamental, un peu moins l'harmonique de rang 2 et de moins en moins les autres harmoniques. L'amplitude du fondamental du signal de sortie doit être égale à  $100 \times 18 \cdot 10^{-3} = 1800 \text{ mV}$  : cela correspond au spectre (d).

20. Signal d'entrée du filtre ( $F_c$ ) :  $u_2(t) = \sum_{n=1}^{\infty} U_{2,n} \cos(n2\pi f_{co}t + \varphi_{2,n})$

Signal de sortie :  $u_s(t) = \sum_{n=1}^{\infty} U_{sn} \cos(n2\pi f_{co}t + \varphi_{sn})$  avec  $U_{sn} = U_{2,n} H(nf_{co})$

Composante	Fondamental	Harmonique de rang 2	Harmonique de rang > 2
Fréquence	$f_{co} = 315 \text{ Hz}$	$2f_{co} = 630 \text{ Hz}$	$nf_{co}$
Gain $G_{dB}$	-6	-28	$< -33$
$H(f) = 10^{\frac{G_{dB}}{20}}$	0,5	0,04	$< 0,02$

$U_{2,n}$ (mV)	1800	2000	< 1200
$U_{sn}$ (mV)	900	80	< 24

On constate que tous les harmoniques sont fortement atténués, y compris l'harmonique de rang 2 car  $U_{s2} < \frac{1}{10} U_{s1}$ .

Expression du signal de sortie :  $u_s(t) \simeq U_{s1} \cos(2\pi f_{co} t + \varphi_{s1})$  avec  $U_{s1} = 900 \text{ mV}$

$u_s(t)$  est sinusoïdal de fréquence  $f_{co} = 315 \text{ Hz}$  et d'amplitude  $U_{s1} = 900 \text{ mV}$

